

3. Geoffrion A.M. Elements of large-scale mathematical programming. Parts – Management Science, 1970, 16, № 11, p 652-691.
4. Левин Г.М. Ганаев В.С., Декомпозиционные методы оптимизации проектных решений. Минск. Наука и техника, 1978, 240 с.
5. Изурков В.И. Декомпозиция в задачах большой размерности. М., Наука, 19981, 352 с.

УДК 519.6

Богданов А.М., Зинченко Я.В.

МОДИФИКАЦИЯ АЛГОРИТМА УМНОЖЕНИЯ СВЕРХБОЛЬШИХ ЧИСЕЛ НА ОСНОВЕ КОЭФФИЦИЕНТОВ УОЛША

В настоящее время при программной реализации асимметричных криптоалгоритмов существует необходимость в быстром выполнении операции умножения многоразрядных чисел, размерность которых реально составляет 512-4096 бит.

Известно, что число шагов (битовых операций), необходимых для умножения двух m -разрядных чисел “в столбик”, равняется m^2 . Однако, нашли широкое применение методы, позволяющие вычислить требуемое произведение быстрее, чем за m^2 шагов. Это метод Карацубы со сложностью $O(m^{1,59})$, модулярный метод, имеющий сложность $O(m^{1,63})$, и другие. Алгоритм Шенхаге-Штрассена является асимптотически самым быстрым из известных и позволяет умножить два m -разрядных числа за $m \log m \log \log m$ шагов [1]. Этот алгоритм основан на идее использования теоремы о дискретной свертке двух функций, т. к. произведение многоразрядных чисел без учета переносов является дискретной циклической сверткой двух сомножителей. Поскольку дискретная циклическая свертка дает основной вклад в оценку сложности алгоритма, то для эффективного ее вычисления используется алгоритм быстрого преобразования Фурье.

В работе [2] описан и проанализирован эффективный алгоритм умножения многоразрядных чисел, в основу которого положен разработанный в [3] алгоритм вычисления циклической свертки, основанный на коэффициентах Уолша и отсутствии перехода в поле комплексных чисел.

В данной статье предлагается методика модификации алгоритма вычисления циклической свертки, предложенного в [3], путем уменьшения общего числа сложений, необходимых для его реализации. Сущность модификации заключается в замене операции вычисления коэффициентов Уолша с использованием быстрого преобразования Уолша (БПУ) на операцию вычисления этих коэффициентов с использованием быстрого преобразования Хаара (БПХ).

Из [3] известно, что общее количество сложений, необходимых для вычисления циклической свертки, равно:

$$\begin{aligned}
 Q_{\Sigma}^{+} &= Q_1^{+} + Q_2^{+} + Q_3^{+} = n \cdot 2^{n+1} + 4(3^{n-1} - 2^{n-1}) + 3^{n+1} - 3,5 \cdot 2^n = \\
 &= 13 \cdot 3^{n-1} + 2^{n+1}(n - 2,75),
 \end{aligned}
 \tag{1}$$

где $Q_1^{+} = n \cdot 2^{n+1}$ – количество сложений, необходимых для выполнения шага 1 алгоритма

(вычисление коэффициентов Уолша F^X и F^Y исходных последовательностей X и Y с использованием БПУ), $Q_2^{+} = 4(3^{n-1} - 2^{n-1})$ – число сложений, необходимых для

выполнения шага 2 алгоритма (вычисление вектора линейных комбинаций из коэффициентов F^X и F^Y), $Q_3^+ = (3^{n+1} - 3,5 \cdot 2^n)$ – количество сложений, необходимых для выполнения шага 3 алгоритма (вычисление коротких сверток).

Оптимизация алгоритма вычисления циклической свертки по числу сложений, возможна за счет минимизации количества сложений при выполнении шага 1.

Известно [4], что число сложений, которые необходимы для вычисления коэффициентов Уолша и Хаара векторов длины $N = 2^n$ с использованием быстрых алгоритмов, равняется $n \cdot 2^n$ и $2(2^n - 1)$ соответственно. Из приведенных ниже соотношений, связывающих преобразования Уолша и Хаара, следует, что преобразование Уолша можно заменить преобразованием Хаара, которое обеспечивает экономию числа сложений (при $N = 2^n = 256$ примерно в четыре раза) и, соответственно, более высокую скорость вычислений. Эти соотношения дают семейство ортогональных преобразований, включающее преобразования Уолша и Хаара, к которым относится один общий алгоритм быстрого вычисления.

Обозначим, в соответствии с [5], матрицы Хаара $\begin{bmatrix} H_2^n \end{bmatrix}$ и Уолша-Адамара $\begin{bmatrix} W_2^n \end{bmatrix}$ порядка 2^n , строки которых представляют собой 2^n функций Хаара и Уолша, нормированных на $1/\sqrt{2^n}$; разобьем матрицы $\begin{bmatrix} H_2^n \end{bmatrix}$ и $\begin{bmatrix} W_2^n \end{bmatrix}$ на $(n+1)$ прямоугольных подматриц $\begin{bmatrix} MH_{2^n}^k \end{bmatrix}$ и $\begin{bmatrix} MW_{2^n}^k \end{bmatrix}$ размером $(2^n \times 2^{k-1})$, $k = 1, \dots, n$. Матрица $\begin{bmatrix} MH_{2^n}^0 \end{bmatrix}$ представляет собой первую строку H^0 , матрица $\begin{bmatrix} MW_{2^n}^0 \end{bmatrix}$ представляет собой первую строку W^0 , а матрицы $\begin{bmatrix} MH_{2^n}^k \end{bmatrix}$ и $\begin{bmatrix} MW_{2^n}^k \end{bmatrix}$ формируются из функций Хаара и Уолша ранга r , причем $2^{k-1} \leq r \leq 2^k$.

Матрицы $\begin{bmatrix} H_2^n \end{bmatrix}$ и $\begin{bmatrix} W_2^n \end{bmatrix}$, а также подматрицы $\begin{bmatrix} MH_{2^n}^k \end{bmatrix}$ и $\begin{bmatrix} MW_{2^n}^k \end{bmatrix}$ представлены на рис. 1.

$$\begin{array}{l}
 \left. \begin{array}{l}
 H_0 \ 1 \ 1 \ 1 \ 1 \ 1 \ 1 \ 1 \ 1 \\
 H_1 \ 1 \ 1 \ 1 \ 1 \ -1 \ -1 \ -1 \ -1 \\
 H_2 \ \sqrt{2} \ \sqrt{2} \ -\sqrt{2} \ -\sqrt{2} \ 0 \ 0 \ 0 \ 0 \\
 H_3 \ 0 \ 0 \ 0 \ 0 \ \sqrt{2} \ \sqrt{2} \ -\sqrt{2} \ -\sqrt{2} \\
 H_4 \ 2 \ -2 \ 0 \ 0 \ 0 \ 0 \ 0 \ 0 \\
 H_5 \ 0 \ 0 \ 2 \ -2 \ 0 \ 0 \ 0 \ 0 \\
 H_6 \ 0 \ 0 \ 0 \ 0 \ 2 \ -2 \ 0 \ 0 \\
 H_7 \ 0 \ 0 \ 0 \ 0 \ 0 \ 0 \ 2 \ -2
 \end{array} \right\} \begin{array}{l} [MH_3^0] \\ [MH_3^1] \\ [MH_3^2] \\ [MH_3^3] \end{array} \\
 \text{Матрица Хаара порядка } 2^n
 \end{array}
 \qquad
 \begin{array}{l}
 \left. \begin{array}{l}
 W_0 \ 1 \ 1 \ 1 \ 1 \ 1 \ 1 \ 1 \ 1 \\
 W_1 \ 1 \ 1 \ 1 \ -1 \ -1 \ -1 \ -1 \ -1 \\
 W_2 \ 1 \ 1 \ -1 \ -1 \ -1 \ -1 \ 1 \ 1 \\
 W_3 \ 1 \ 1 \ -1 \ -1 \ 1 \ 1 \ -1 \ -1 \\
 W_4 \ 1 \ -1 \ -1 \ 1 \ 1 \ -1 \ -1 \ 1 \\
 W_5 \ 1 \ -1 \ -1 \ 1 \ -1 \ 1 \ 1 \ -1 \\
 W_6 \ 1 \ -1 \ 1 \ -1 \ -1 \ 1 \ -1 \ 1 \\
 W_7 \ 1 \ -1 \ 1 \ -1 \ 1 \ -1 \ 1 \ -1
 \end{array} \right\} \begin{array}{l} [MW_3^0] \\ [MW_3^1] \\ [MW_3^2] \\ [MW_3^3] \end{array} \\
 \text{Матрица Уолша-Адамара порядка } 2^n
 \end{array}$$

Рис. 1. Матрицы и подматрицы Хаара и Уолша-Адамара

Между подматрицами $\begin{bmatrix} \text{MH}_{2^n}^k \end{bmatrix}$ и $\begin{bmatrix} \text{MW}_{2^n}^k \end{bmatrix}$ существует связывающее их матричное соотношение [6]:

$$\begin{bmatrix} \text{MW}_{2^n}^k \end{bmatrix} = \begin{bmatrix} W_{2^{k-1}} \end{bmatrix} \cdot \begin{bmatrix} S_{2^{k-1}} \end{bmatrix} \cdot \begin{bmatrix} \text{MH}_{2^n}^k \end{bmatrix}, \quad k = 1, \dots, n, \quad (2)$$

где $\begin{bmatrix} W_{2^{k-1}} \end{bmatrix}$ – упорядоченная матрица Уолша-Адамара порядка 2^{k-1} , а $\begin{bmatrix} S_{2^{k-1}} \end{bmatrix}$ – матрица перестановок порядка 2^{k-1} вида

$$\begin{bmatrix} S_{2^{k-1}} \end{bmatrix} = \begin{bmatrix} & & & 1 \\ & 0 & & \\ & & & \\ & & 1 & \\ & & & 0 \\ 1 & & & \end{bmatrix}$$

Поскольку $\begin{bmatrix} W_{2^{k-1}} \end{bmatrix}$ и $\begin{bmatrix} S_{2^{k-1}} \end{bmatrix}$ симметричны и ортогональны, то можно получить обратное соотношение:

$$\begin{bmatrix} \text{MH}_{2^n}^k \end{bmatrix} = \begin{bmatrix} W_{2^{k-1}} \end{bmatrix} \cdot \begin{bmatrix} S_{2^{k-1}} \end{bmatrix} \cdot \begin{bmatrix} \text{MW}_{2^n}^k \end{bmatrix}, \quad k = 1, \dots, n. \quad (3)$$

В работе [7] доказывается справедливость выражений (2) и (3) и определяются соотношения, связывающие преобразованные векторы $V_W \left(V_{W_0}, V_{W_1}, \dots, V_{W_{2^n-1}} \right)$ и $V_H \left(V_{H_0}, V_{H_1}, \dots, V_{H_{2^n-1}} \right)$, соответствующие исходному вектору V .

Умножив правые части выражений (2) и (3) на вектор V , получим:

$$\begin{pmatrix} V_{W_{2^{k-1}}} \\ \cdot \\ \cdot \\ \cdot \\ V_{W_{2^{k-1}}} \end{pmatrix} = \begin{bmatrix} W_{2^{k-1}} \end{bmatrix} \cdot \begin{bmatrix} S_{2^{k-1}} \end{bmatrix} \cdot \begin{pmatrix} V_{H_{2^{k-1}}} \\ \cdot \\ \cdot \\ \cdot \\ V_{H_{2^{k-1}}} \end{pmatrix}, \quad (4)$$

$$\begin{pmatrix} V_{H_{2^{k-1}}} \\ \cdot \\ \cdot \\ \cdot \\ V_{H_{2^{k-1}}} \end{pmatrix} = [W_{2^{k-1}}] \cdot [S_{2^{k-1}}] \cdot \begin{pmatrix} V_{W_{2^{k-1}}} \\ \cdot \\ \cdot \\ \cdot \\ V_{W_{2^{k-1}}} \end{pmatrix} \quad (5)$$

Наборы коэффициентов преобразованных векторов, появляющихся в выражениях (4) и (5), называются зонами. Из соотношений видно, что зона преобразованного вектора V_H определяет соответствующую зону преобразованного вектора V_W . Это свойство показывает, что если вектор V аппроксимируется некоторым подмножеством зон преобразованных векторов V_H и V_W или, в частности, если эти векторы усекаются в конце зоны, то после обратных преобразований получается исходный приближенный вектор V .

В соотношениях (4) и (5) соответствующие зоны связаны ортогональными преобразованиями. Из теоремы Парсеваля следует, что энергии соответствующих зон преобразованных векторов одинаковы.

На рис. 2 приведена схема алгоритма быстрого вычисления преобразования Хаара 8-го порядка. Согласно [7], повторное применение соотношения (4) позволяет получить из этой схемы схему алгоритма быстрого вычисления преобразования Уолша 8-го порядка, представленную на рис. 3. Пунктирными линиями обведены преобразования Уолша низших порядков, после которых производится перестройки матриц $[S]$.

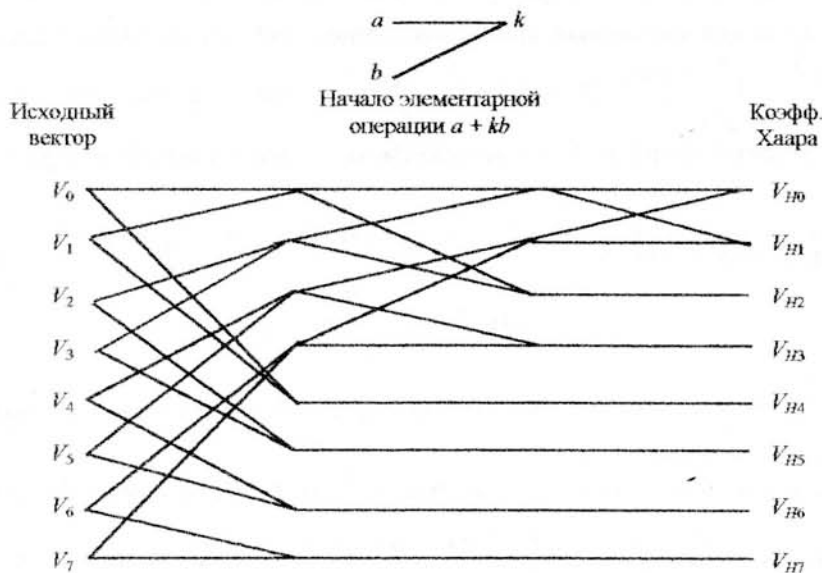


Рис. 2. Схема алгоритма быстрого вычисления преобразования Хаара

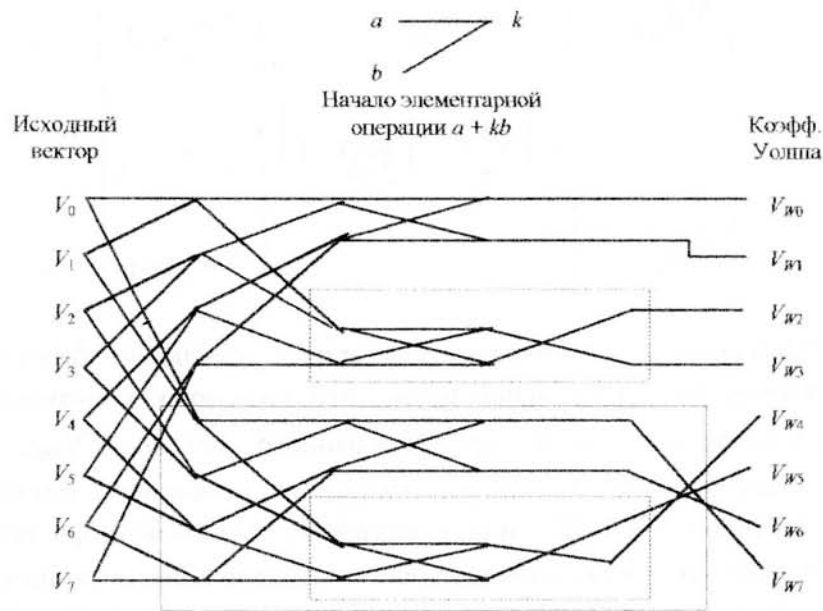


Рис. 3. Схема алгоритма быстрого вычисления преобразования Уолша

Таким образом, применение соотношений (2) и (3) приводит к тому, что преобразование Хаара действует так же, как и преобразование Уолша, а количество сложений, которые необходимы для вычисления коэффициентов Уолша последовательности длины $N = 2^n$, уменьшается на величину $n \cdot 2^n - 2(2^n - 1) = n \cdot 2^n - 2^{n+1} + 2$. С учетом того, что в алгоритме (1) обрабатываются две последовательности (X и Y), и для каждой из них получается указанный выигрыш, общее уменьшение числа сложений составит $n \cdot 2^{n+1} - (2^{n+2} - 4) = 2^{n+1}(n - 2) + 4$. Общее число сложений, необходимых для вычисления циклической свертки модифицированным алгоритмом будет равно:

$$\begin{aligned}
 Z_{\Sigma}^+ &= Z_1^+ + Z_2^+ + Z_3^+ = 2^{n+2} - 4 + 4(3^{n-1} - 2^{n-1}) + 3^{n+1} - 3,5 \cdot 2^n = \\
 &= 13 \cdot 3^{n-1} - 1,5 \cdot 2^n - 4,
 \end{aligned}
 \tag{6}$$

где $Z_1^+ = (2^{n+2} - 4)$ – количество сложений, необходимых для выполнения шага 1 алгоритма (вычисление коэффициентов Уолша F^X и F^Y последовательностей X и Y с использованием БПХ), $Z_2^+ = Q_2^+ = 4(3^{n-1} - 2^{n-1})$ – число сложений, необходимых для выполнения шага 2 алгоритма (вычисление вектора линейных комбинаций из F^X и F^Y), $Z_3^+ = Q_3^+ = (3^{n+1} - 3,5 \cdot 2^n)$ – количество сложений, необходимых для выполнения шага 3 алгоритма (вычисление коротких свертки).

Результаты сравнения исходного (1) и модифицированного (6) алгоритмов приведены в сводной табл. 1, содержащей число сложений, необходимых для вычисления циклической свертки каждым из них.

Таблица 1

Сложность алгоритмов вычисления циклической свертки

n	Q^+_1	Q^+_2	Q^+_3	Q^+_{Σ}	Z^+_1	Z^+_2	Z^+_3	Z^+_{Σ}	Эконом. числа сложений.
10	20480	76684	173563	270727	4092	76684	173563	254339	16388
9	9216	25220	57257	91693	2044	25220	57257	84521	7172
8	4096	8236	18787	31119	1020	8236	18787	28043	3076
7	1792	2660	6113	10565	508	2660	6113	9281	1284
6	768	844	1963	3575	252	844	1963	3059	516
5	320	260	617	1197	124	260	617	1001	196
4	128	76	187	391	60	76	187	323	68
3	48	20	53	121	28	20	53	101	20
2	16	4	13	33	12	4	13	29	4
1	4	0	2	6	4	0	2	0	0

Эффективность модифицированного алгоритма определяется коэффициентом эффективности h по соотношению:

$$h = \frac{Q^+_{\Sigma} - Z^+_{\Sigma}}{Q^+_{\Sigma}} \cdot 100\% \quad (7)$$

На рис. 4 изображен график зависимости коэффициента эффективности модифицированного алгоритма, выраженного в процентах, от значений n . Из графика видно, что максимальная экономия по числу сложений достигается при малых значениях n ($h = 17,4\%$ при $n = 4$), поэтому данный алгоритм наиболее целесообразно использовать для вычисления свертки коротких временных последовательностей.

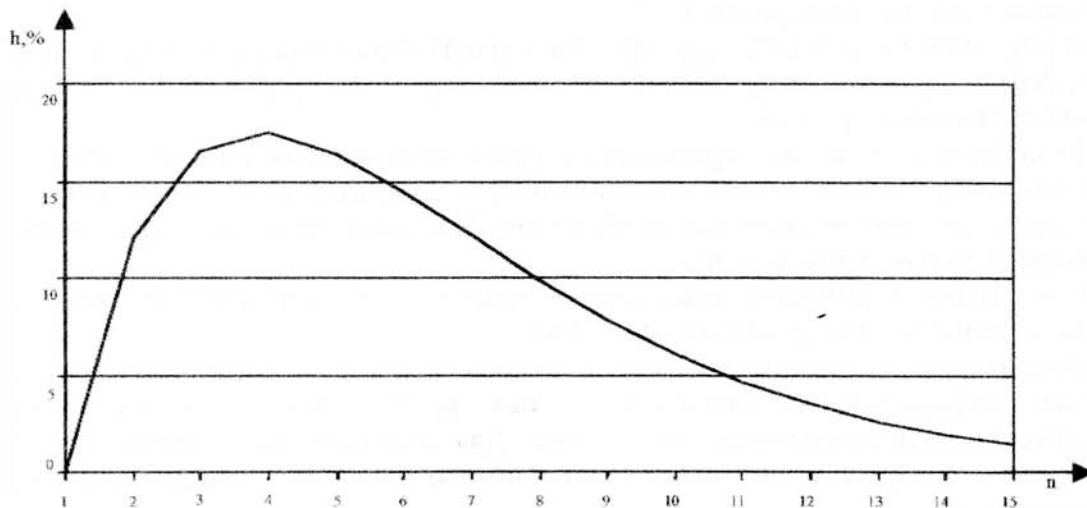


Рис. 4. Эффективность модифицированного алгоритма

Список литературы:

1. *Кнут Д.* Искусство программирования для ЭВМ. Т. 2. – М.: Мир, 2001. – 730 с.
2. *Задирака В. К., Мельникова С. С.* Анализ сложности алгоритма умножения сверхбольших чисел на основе коэффициентов Уолша//Кибернетика и системный анализ. – 2001. – № 6. – С. 99-110.
3. *Pitassi D. A.* Fast convolution using the Walsh transform//Appl. of Walsh Funktionen. – 1971. – P. 130-133.
4. *Толстых Г. Д.* Сверхбыстрое спектральное преобразование по функциям Хаара//Изв. вузов – радиоэлектроника, – 1979. – № 7. – С. 86-89.
5. *Andrews H. C.* Computer Techniques in Image Processing, New York: Academic Press, 1970, pp. 73-90.
6. *Alexits G.* Convergence Problems of Orthogonal Series, New York: Pergamon, 1961, pp. 46-62.
7. *Файн Б.* Связь между преобразованиями Хаара и Уолша-Адамара//ТИИЭР, 1972. №5.

УДК 681.3

С.Р. Коженевский, Г.Т. Солдатенко

**ЗАЩИТА ИНФОРМАЦИИ В ЦЕПЯХ ЭЛЕКТРОПИТАНИЯ
ПЕРСОНАЛЬНОГО КОМПЬЮТЕРА**

Что имеем – не храним,
Потерявши – плачем.
Народный ЭПОС

В современном мире большие объемы информации обрабатываются, хранятся и передаются электронными методами, и, следовательно, сопровождаются электромагнитными излучениями. Поэтому существует реальная возможность несанкционированного доступа к этой информации посредством радиоперехвата или контактного подключения к коммуникациям [2]. В подтверждение этому достаточно привести такие примеры.

В отчетах Агентства Национальной Безопасности США опубликованы сведения о том, что около 80% разведывательной информации поступает по техническим каналам утечки информации за счет радиоперехвата.

Фирма «ЕПОС» и ЦТЗИ «Барьер» ОАО «НИИЭМП» демонстрировали на выставке EnterEx-2001 перехват информации с монитора по радиоканалу с помощью радиолюбительских устройств.

Но информацию можно перехватить и путем подключения к цепям электропитания. Так, в частности, на рис. 1 показана установка, с помощью которой мы демонстрируем возможность перехвата информации, отображаемой на мониторе компьютера, путем анализа напряжения в линии электропитания.

В установке применены стандартные приборы: селективный вольтметр SMV-11, эквивалент сети NNB-111, осциллограф С1-65А.

Персональный компьютер является центральным звеном в информационных системах обработки информации и находится в зоне пристального внимания конкурентов, злоумышленников и разведывательных служб. Для получения информации используются все доступные средства, в том числе и различные анализаторы, подключаемые к линиям электропитания.

Прежде чем приступить к рассмотрению обозначенной проблемы необходимо дать некоторые пояснения используемой терминологии.